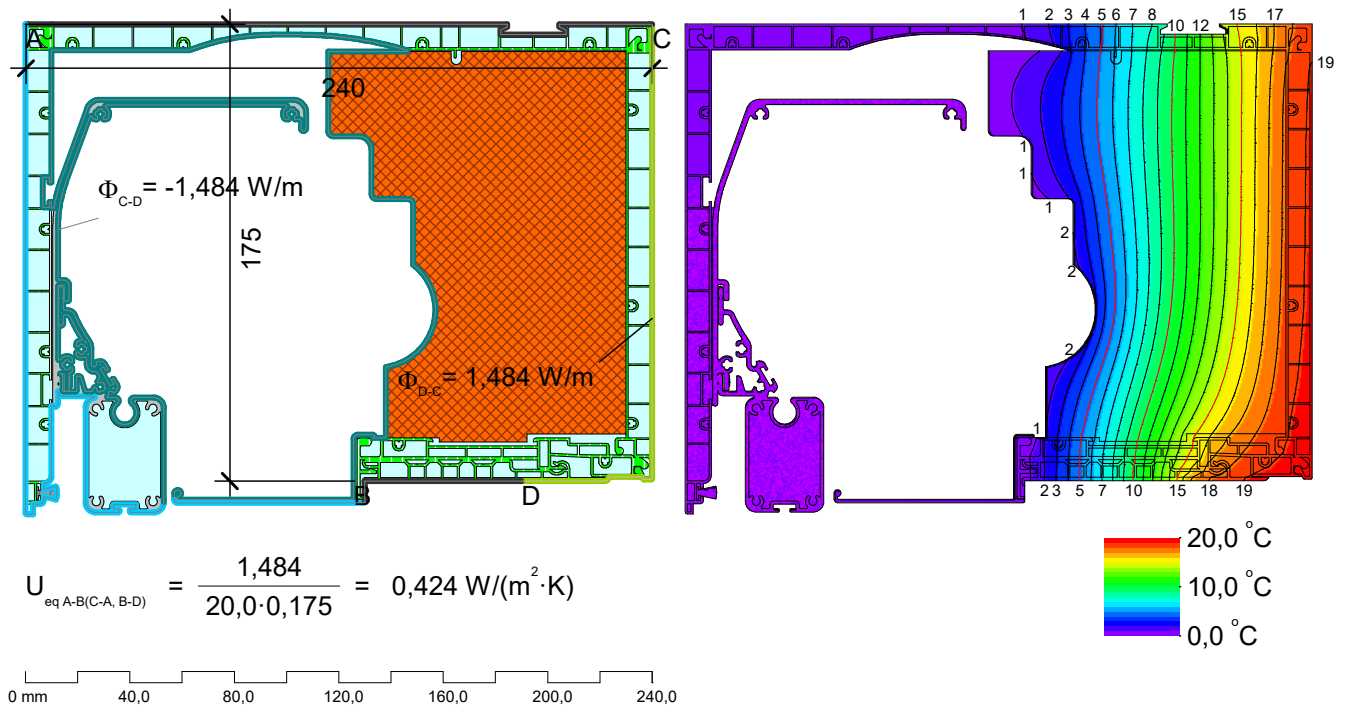


Wärmedurchgangskoeffizient

TOP MINI plus

175 Screen [Revision außen]



Ergebnis: $U_{\text{sb}} = 0,42 \text{ W/m}^2 \text{K}$

Material	$\lambda [\text{W}/(\text{m} \cdot \text{K})]$	Randbedingung	$\theta [^\circ \text{C}]$	$R [(\text{m}^2 \cdot \text{K})/\text{W}]$	ε
Al-Legierung_Lambda=160W/(mK)	160,000	T=0°C Rse=0,04(m2K)/W	0,000	0,040	
Bürstendichtung_Lambda=0,14W/(mK)	0,140	T=0°C Rse=0,3(m2K)/W	0,000	0,300	
EPS_Lambda=0,032W/(mK)	0,032	T=20°C Rsi=0,13(m2K)/W	20,000	0,130	
Polyvinylchlorid (PVC)_Lambda=0,17W/(mK)	0,170	Symmetrie/Bauteilschnitt			
Unbelüftete Hohlräume *					
* Vereinfachtes Verfahren					

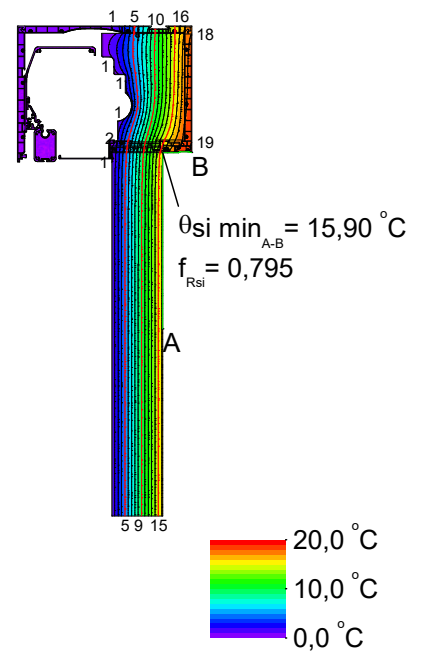
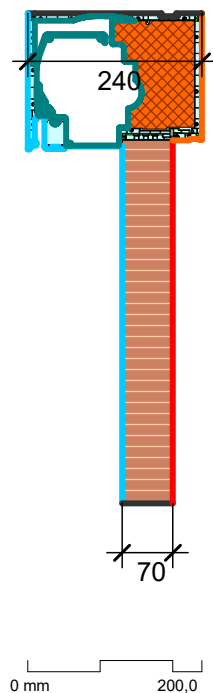
Vereinfachtes Verfahren
flixo energy 8.1.1005.1

EN 10077-2:2018

Consider EN ISO 10211 requirements: Ja
Min. element angle: 20
Max. element size: 1/70
Mesh refinement: 0
Method: relative error AND relative heat flow error
Max. rel. error: 1e-30
Max. heat flow error: 0,0001
Max. relative changes (material properties): 20%
Max. nr. iterations (material properties): 1

Temperaturfaktor

TOP MINI plus
175 Screen [Revision außen]



Ergebnis: $f_{Rsi} = 0,80$

Material	$\lambda [W/(m \cdot K)]$
Al-Legierung_Lambda=160W/(mK)	160,000
Bürstendichtung_Lambda=0,14W/(mK)	0,140
EPS_Lambda=0,032W/(mK)	0,032
Holz_Lambda=0,13W/(mK)	0,130
Polyvinylchlorid (PVC)_Lambda=0,17W/(mK)	0,170
Unbelüftete Hohlräume *	

Vereinfachtes Verfahren EN 10077-2:2018
flixo energy 8.1.1005.1

Randbedingung	$\theta [^{\circ}C]$	$R [(m^2 \cdot K)/W]$	ε
T=0°C Rse=0,04(m2K)/W	0,000	0,040	
T=0°C Rse=0,3(m2K)/W	0,000	0,300	
T=20°C Rsi=0,13m2K/W	20,000	0,130	
T=20°C Rsi=0,25(m2K)/W	20,000	0,250	
Symmetrie/Bauteilschnitt			

Consider EN ISO 10211 requirements: Ja
Min. element angle: 20
Max. element size: 1/70
Mesh refinement: 4
Method: relative error AND relative heat flow error
Max. rel. error: 1e-30
Max. heat flow error: 0,0001
Max. relative changes (material properties): 20%
Max. nr. iterations (material properties): 1